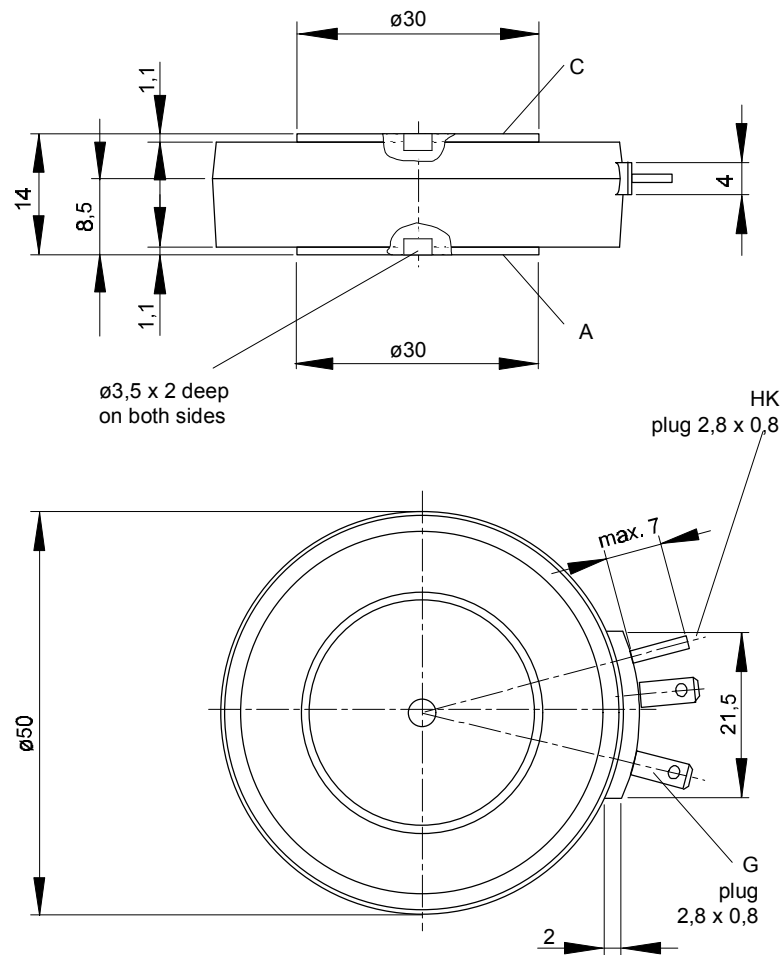


European Power-  
Semiconductor and  
Electronics Company

## Marketing Information T 1078 N



# T 1078 N

<b>Elektrische Eigenschaften</b>		<b>Electrical properties</b>				
<i>Höchstzulässige Werte</i>		<i>Maximum rated values</i>				
Periodische Vorwärts- und Rückwärts-Spitzenperrspannung		repetitive peak forward off-state and reverse voltages	$t_{vj} = -40^\circ\text{C}...t_{vj \max}$	$V_{DRM}, V_{RRM}$	200 400 600	V
Vorwärts-Stoßspitzenperrspannung		non-repetitive peak forward off-state voltage	$t_{vj} = -40^\circ\text{C}...t_{vj \max}$	$V_{DSM} = V_{DRM}$	200 400 600	V
Rückwärts-Stoßspitzenperrspannung		non-repetitive peak reverse voltage	$t_{vj} = +25^\circ\text{C}...t_{vj \max}$	$V_{RSM} = V_{RRM}$	250 450 650	V
Durchlaßstrom-Grenzeffektivwert		RMS on-state current		$I_{TRMSM}$	2000	A
Dauergrenzstrom		average on-state current	$t_c = 85^\circ\text{C}$	$I_{TAVM}$	1078	A
			$t_c = 71^\circ\text{C}$		1275	A
Stoßstrom-Grenzwert		surge current	$t_{vj} = 25^\circ\text{C}, t_p = 10 \text{ ms}$ $t_{vj} = t_{vj \max}, t_p = 10 \text{ ms}$	$I_{TSM}$	16000	A
Grenzlastintegral		$I^2 t$ -value	$t_{vj} = 25^\circ\text{C}, t_p = 10 \text{ ms}$ $t_{vj} = t_{vj \max}, t_p = 10 \text{ ms}$	$I^2 t$	$1,28 \cdot 10^6$ $1,05 \cdot 10^6$	$\text{A}^2\text{s}$ $\text{A}^2\text{s}$
Kritische Stromsteilheit		critical rate of rise of on-state current	$v_D \leq 67\%, V_{DRM}, f = 50 \text{ Hz}$ $i_{GM} = 0,8 \text{ A}, di_G/dt = 0,8 \text{ A}/\mu\text{s}$	$(di_T/dt)_{cr}$	200	$\text{A}/\mu\text{s}$
Kritische Spannungssteilheit		critical rate of rise of off-state voltage	$t_{vj} = t_{vj \max}, v_D = 67\% V_{DRM}$	$(dv/dt)_{cr}$	1000	$\text{V}/\mu\text{s}$
<b>Charakteristische Werte</b>		<b>Characteristic values</b>				
Durchlaßspannung		on-state voltage	$t_{vj} = t_{vj \max}, i_T = 3500 \text{ A}$	$v_T$	max. 1,81	V
Schleusenspannung		threshold voltage	$t_{vj} = t_{vj \max}$	$V_{T(TO)}$	1,02	V
Ersatzwiderstand		slope resistance	$t_{vj} = t_{vj \max}$	$r_T$	0,2	$\text{m}\Omega$
Zündstrom		gate trigger current	$t_{vj} = 25^\circ\text{C}, V_D = 6 \text{ V}$	$I_{GT}$	max. 200	$\text{mA}$
Zündspannung		gate trigger voltage	$t_{vj} = 25^\circ\text{C}, V_D = 6 \text{ V}$	$V_{GT}$	max. 2,0	V
Nicht zündender Steuerstrom		gate non-trigger current	$t_{vj} = t_{vj \max}, V_D = 6 \text{ V}$	$I_{GD}$	max. 10	$\text{mA}$
Nicht zündende Steuerspannung		gate non-trigger voltage	$t_{vj} = t_{vj \max}, V_D = 0,5 V_{DRM}$	$V_{GD}$	max. 250	$\text{mV}$
Haltestrom		holding current	$t_{vj} = 25^\circ\text{C}, V_D = 6 \text{ V}, R_A = 5 \Omega$	$I_H$	max. 200	$\text{mA}$
Einraststrom		latching current	$t_{vj} = 25^\circ\text{C}, V_D = 6 \text{ V}, R_{GK} \geq 10 \Omega$ $i_{GM} = 0,8 \text{ A}, di_G/dt = 0,8 \text{ A}/\mu\text{s}, t_g = 20 \mu\text{s}$	$I_L$	max. 1000	$\text{mA}$
Vorwärts- und Rückwärts-Sperrstrom		forward off-state and reverse currents	$t_{vj} = t_{vj \max}, V_D = V_{DRM}, V_R = V_{RRM}$	$i_D, i_R$	max. 80	$\text{mA}$
Zündverzug		gate controlled delay time	$t_{vj} = 25^\circ\text{C}, i_{GM} = 0,8 \text{ A}, di_G/dt = 0,8 \text{ A}/\mu\text{s}$	$t_{gd}$	max. 1,4	$\mu\text{s}$
Freiwerdezeit		circuit commutated turn-off time	siehe Techn. Erl./see Techn. Inf.	$t_q$	typ. 150	$\mu\text{s}$
<b>Thermische Eigenschaften</b>		<b>Thermal properties</b>				
Innerer Wärmewiderstand für beidseitige Kühlung		thermal resistance, junction to case for two-sided cooling	$\Theta = 180^\circ \text{ el, sin}$	$R_{thJC}$	max. 0,033	$^\circ\text{C}/\text{W}$
für anodenseitige Kühlung		for anode-sided cooling	DC		max. 0,030	$^\circ\text{C}/\text{W}$
für kathodenseitige Kühlung		for cathode-sided cooling	$\Theta = 180^\circ \text{ el, sin}$	$R_{thJC(A)}$	max. 0,059	$^\circ\text{C}/\text{W}$
Übergangs-Wärmewiderstand		thermal resistance, case to heatsink	DC	$R_{thCK}$	max. 0,056	$^\circ\text{C}/\text{W}$
Höchstzul. Sperrsichttemperatur		max. junction temperature	beidseitig/two-sided		max. 0,068	$^\circ\text{C}/\text{W}$
Betriebstemperatur		operating temperature	einseitig/one-sided		max. 0,065	$^\circ\text{C}/\text{W}$
Lagertemperatur		storage temperature		$t_{vj \max}$	max. 0,006	$^\circ\text{C}/\text{W}$
				$t_{cop}$	max. 0,012	$^\circ\text{C}/\text{W}$
				$t_{stg}$	140	$^\circ\text{C}$
					-40...+140	$^\circ\text{C}$
					-40...+140	$^\circ\text{C}$
<b>Mechanische Eigenschaften</b>		<b>Mechanical properties</b>				
Si-Elemente mit Druckkontakt		Si-pellet with pressure contact				
Anpreßkraft		clamping force		F	8...16	kN
Gewicht		weight		G	typ. 200	g
Kriechstrecke		creepage distance			17	mm
Feuchteklaasse		humidity classification	DIN 40040			C
Schwingfestigkeit		vibration resistance	$f = 50 \text{ Hz}$		50	$\text{m/s}^2$
Maßbild, anliegend		outline, attached				

T 1078 N

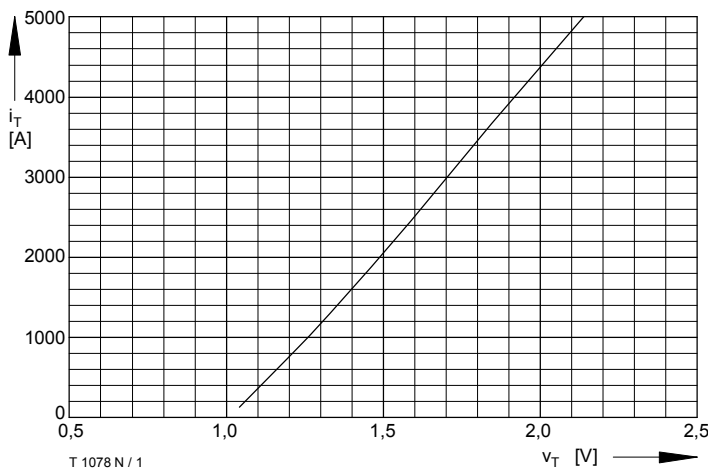


Bild / Fig. 1  
Grenzdurchlaßkennlinie / Limiting on-state characteristic  
 $i_T = f(v_T)$ ,  $t_{vj} = t_{vj \max}$

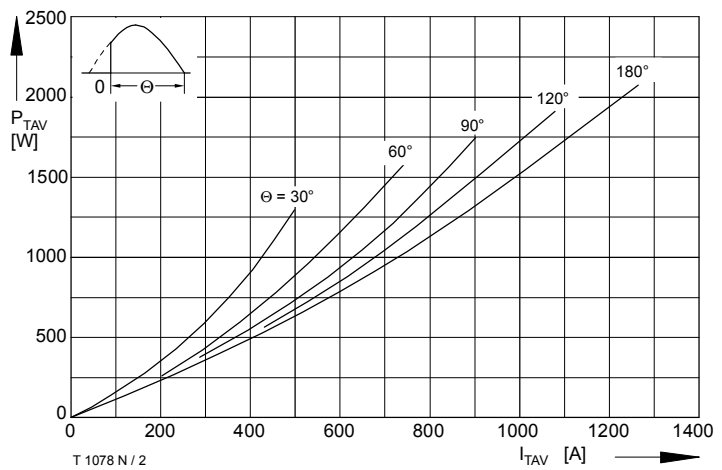


Bild / Fig. 2  
Durchlaßverlustleistung / On-state power loss  $P_{TAV} = f(I_{TAV})$   
Parameter: Stromflußwinkel / Current conduction angle  $\theta$

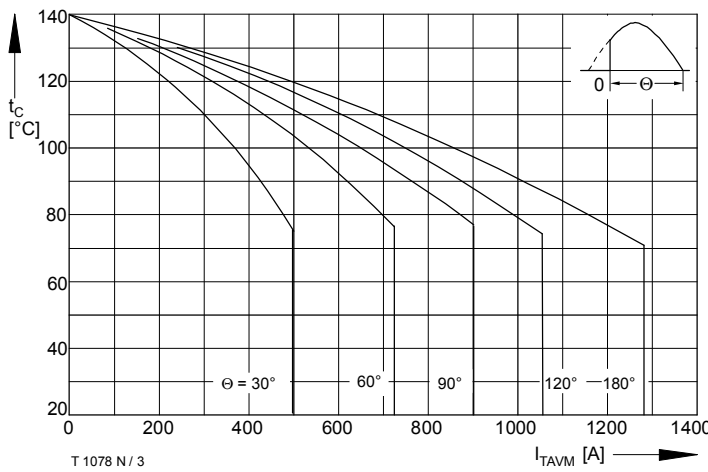


Bild / Fig. 3  
Höchstzulässige Gehäusetemperatur / Max. allowable case temperature  
 $t_C = f(I_{TAVM})$   
Beidseitige Kühlung / Two-sided cooling  
Parameter: Stromflußwinkel / Current conduction angle  $\theta$

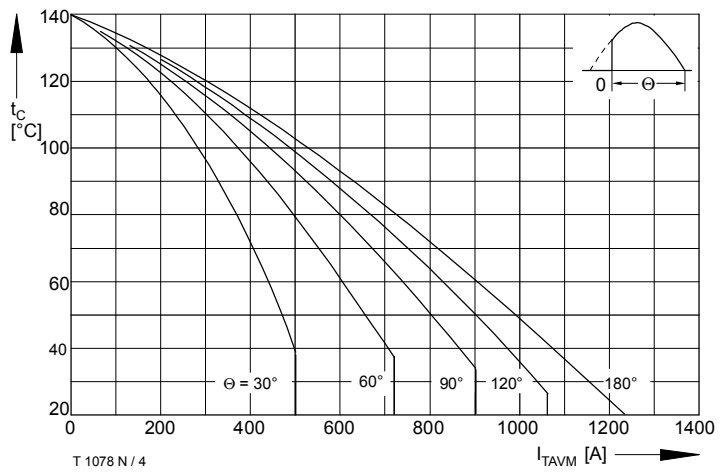


Bild / Fig. 4  
Höchstzulässige Gehäusetemperatur / Max. allowable case temperature  
 $t_C = f(I_{TAVM})$   
Anodenseitige Kühlung / Anode-sided cooling  
Parameter: Stromflußwinkel / Current conduction angle  $\theta$

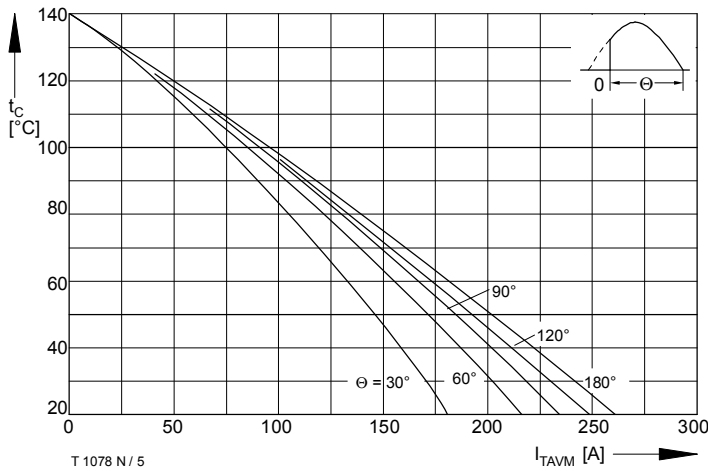


Bild / Fig. 5  
Höchstzulässige Kühlmitteltemperatur / Max. allowable cooling medium temperature  $t_A = f(I_{TAVM})$   
Luftselbstkühlung / Natural air-cooling  
Kühlkörper / Heatsink: K0.36S  
Parameter: Stromflußwinkel / Current conduction angle  $\theta$

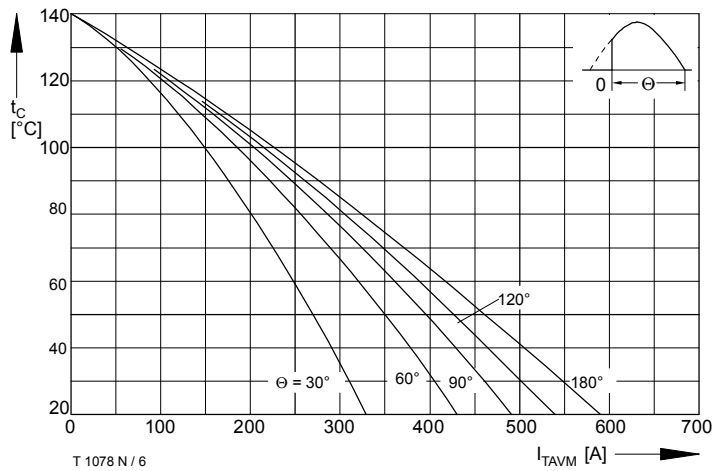


Bild / Fig. 6  
Höchstzulässige Kühlmitteltemperatur / Max. allowable cooling medium temperature  $t_A = f(I_{TAVM})$   
Verstärkte Luftkühlung / forced air cooling  
Kühlkörper / Heatsink: K0.12F,  $V_L = 50$  l/s  
Parameter: Stromflußwinkel / Current conduction angle  $\theta$

T 1078 N

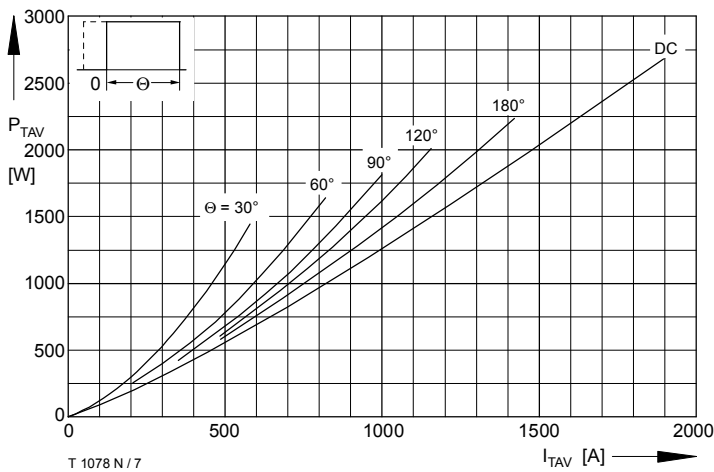


Bild / Fig. 7

Durchlaßverlustleistung / On-state power loss  $P_{TAV} = f(I_{TAV})$   
Parameter: Stromflußwinkel / Current conduction angle  $\Theta$

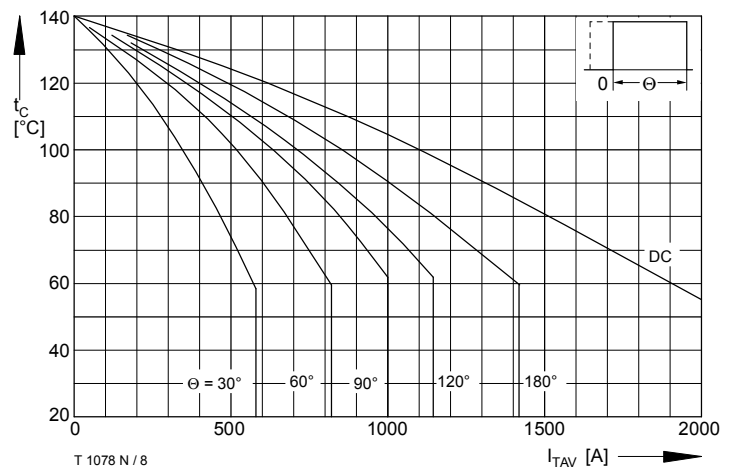


Bild / Fig. 8

Höchstzulässige Gehäusetemperatur / Max. allowable case temperature  
 $t_C = f(I_{TAVM})$   
Beidseitige Kühlung / Two-sided cooling  
Parameter: Stromflußwinkel / Current conduction angle  $\Theta$

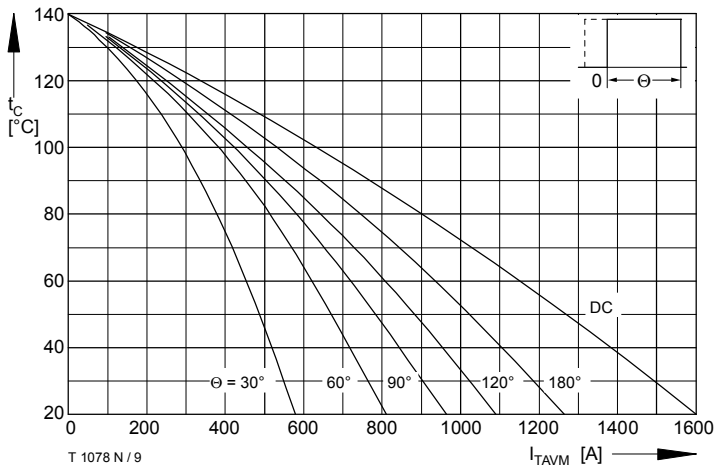


Bild / Fig. 9

Höchstzulässige Gehäusetemperatur / Max. allowable case temperature  
 $t_C = f(I_{TAVM})$   
Anodenseitige Kühlung / Anode-sided cooling  
Parameter: Stromflußwinkel / Current conduction angle  $\Theta$

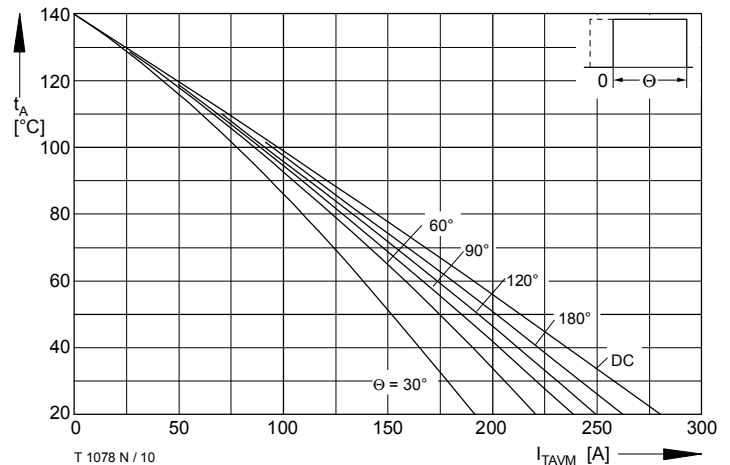


Bild / Fig. 10

Höchstzulässige Kühlmitteltemperatur / Max. alloable cooling medium temperature  $t_A = f(I_{TAVM})$   
Luftselbstkühlung / Natural air-cooling  
Kühlkörper / Heatsink: K0.36S  
Parameter: Stromflußwinkel / Current conduction angle  $\Theta$

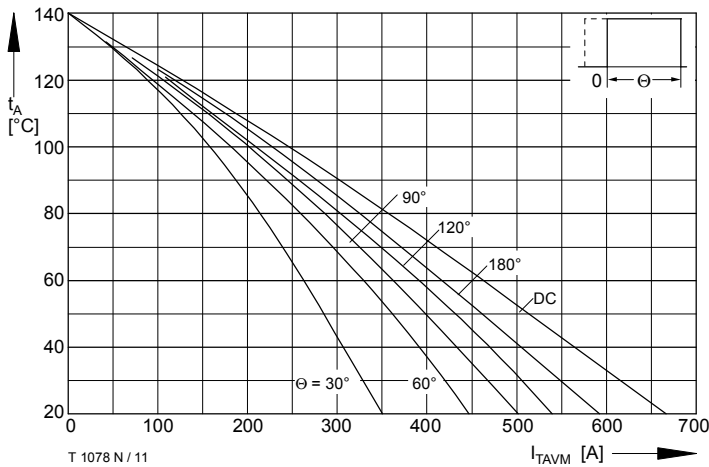


Bild / Fig. 11

Höchstzulässige Kühlmitteltemperatur / Max. alloable cooling medium temperature  $t_A = f(I_{TAVM})$   
Verstärkte Luftkühlung / Forced air cooling  
Kühlkörper / Heatsink: K0.12F,  $V_L = 50$  l/s  
Parameter: Stromflußwinkel / Current conduction angle  $\Theta$

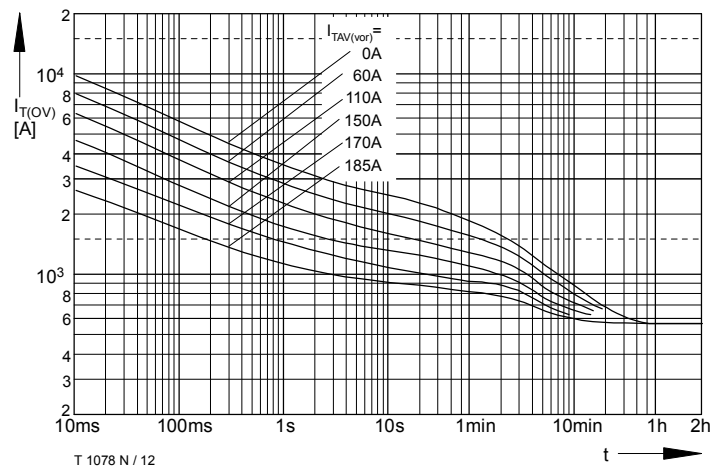


Bild / Fig. 12

Überstrom / Overload on-state current  $I_{T(OV)} = f(t)$   
Luftselbstkühlung / Natural air-cooling  $t_A = 45^\circ\text{C}$   
Kühlkörper / Heatsink: K0.36S  
Parameter: Vorlaststrom / Pre-load current  $I_{TAV(vor)}$

T 1078 N

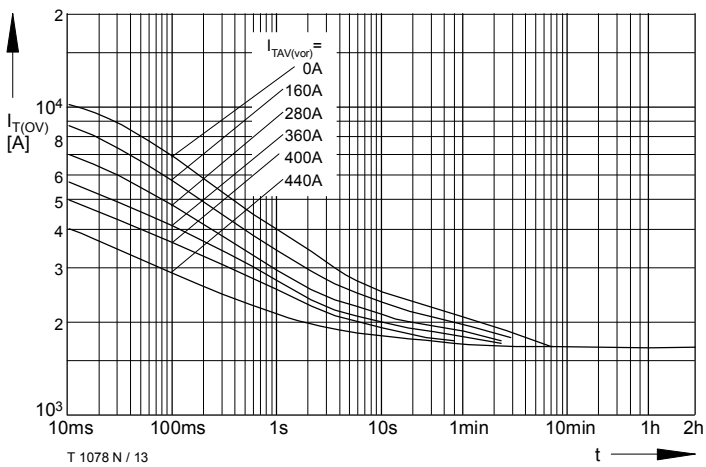


Bild / Fig. 13

Überstrom / Overload on-state current  $I_{T(OV)} = f(t)$   
Verstärkte Luftkühlung / Forced air-cooling  $t_A = 35^\circ\text{C}$   
Kühlkörper / Heatsink: K0.12F,  $V_L = \% = l/s$   
Parameter: Vorlaststrom / Pre-load current  $I_{TAV(vor)}$

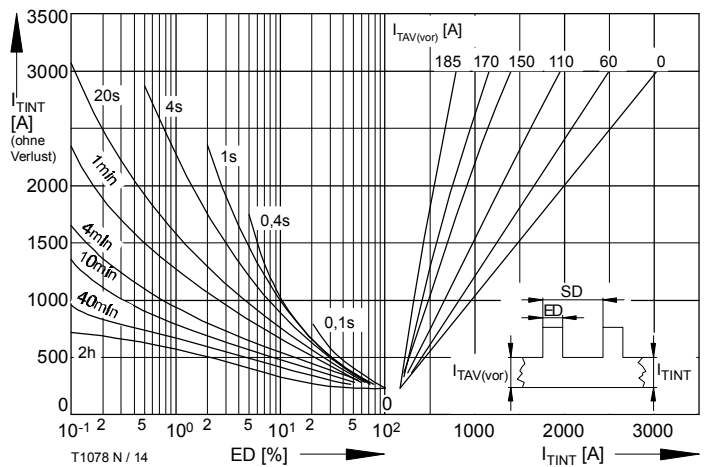


Bild / Fig. 14

Höchstzulässiger Durchlaßstrom bei Aussetzbetrieb /  
Max. allowable on-state current at intermittent operation  $I_{TINT} = f(ED)$   
Luftselbstkühlung / Natural air-cooling,  $t_A = 45^\circ\text{C}$ ,  
Kühlkörper / Heatsink: K0.36S  
Parameter: Spieldauer / cycle duration SD  
Vorlaststrom / pre-load current  $I_{TAV(vor)}$

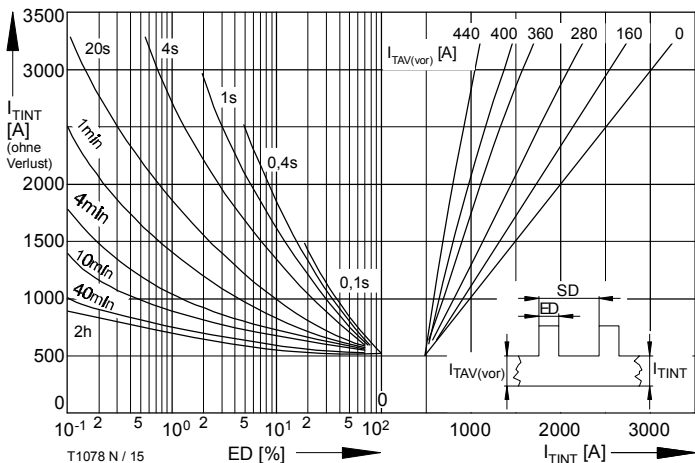


Bild / Fig. 15

Höchstzulässiger Durchlaßstrom bei Aussetzbetrieb /  
Max. allowable on-state current at intermittent operation  $I_{TINT} = f(ED)$   
Verstärkte Luftkühlung / Forced air-cooling,  $t_A = 35^\circ\text{C}$ ,  
Kühlkörper / Heatsink: K0.12F,  $V_L = 50 \text{ l/s}$   
Parameter: Spieldauer / cycle duration SD  
Vorlaststrom / pre-load current  $I_{TAV(vor)}$

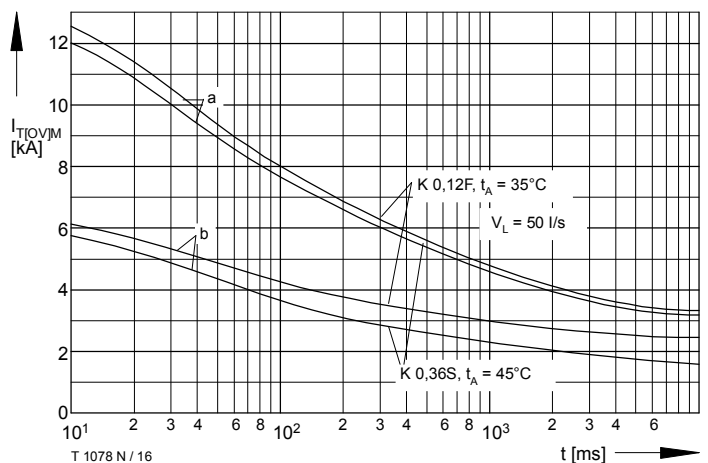


Bild / Fig. 16

Grenzstrom / Max allowable on-state current  $I_{T(OV)M} = f(t)$ ,  
 $V_{RM} = 0.8 V_{RRM}$   
Beidseitige Kühlung / Two sided cooling  
Belastung aus / Surge currents occurs:  
a - Leerlauf / No-load conditions  
b - Betrieb mit Dauergranzstrom / During operation at max. average on-state current  $I_{TAVM}$

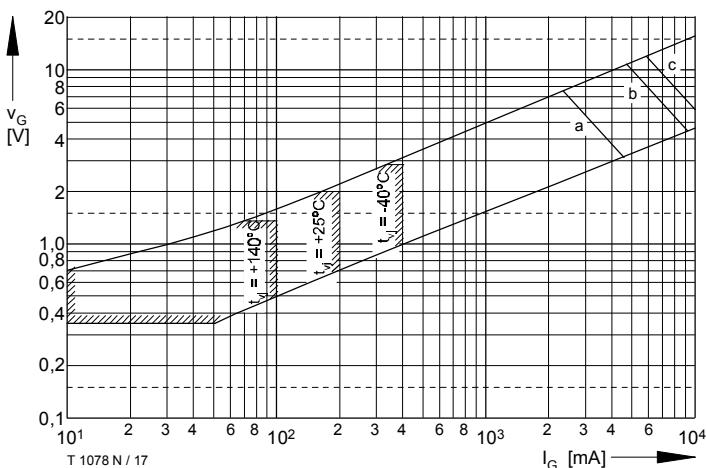


Bild / Fig. 17

Steuercharakteristik mit Zündbereichen / Gate characteristic with triggering areas  $V_G = f(i_G)$ ,  $V_D = 6\text{V}$   
Parameter:  
Steuerimpulsdauer / trigger pulse duration  $t_G$  [ms] 10 1 0,5  
Höchstzulässige Spitzensteuerverlustleistung /  
Max. rated peak gate power dissipation  $P_{GM}$  [W] 20 40 60

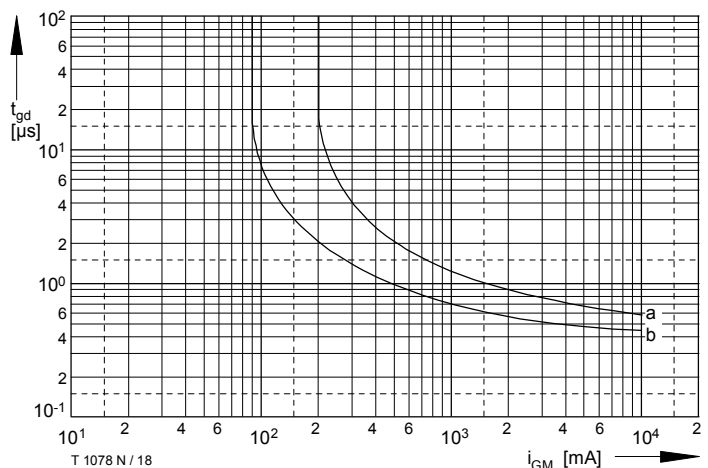


Bild / Fig. 18

Zündverzug / Gate controlled delay time  $t_{gd} = f(i_{GM})$ ,  $t_{vj} = 25^\circ\text{C}$ ,  
 $di_G/dt = i_{GM}/1\mu\text{s}$   
a - Maximaler Verlauf / Limiting characteristic  
b - Typischer Verlauf / Typical characteristic

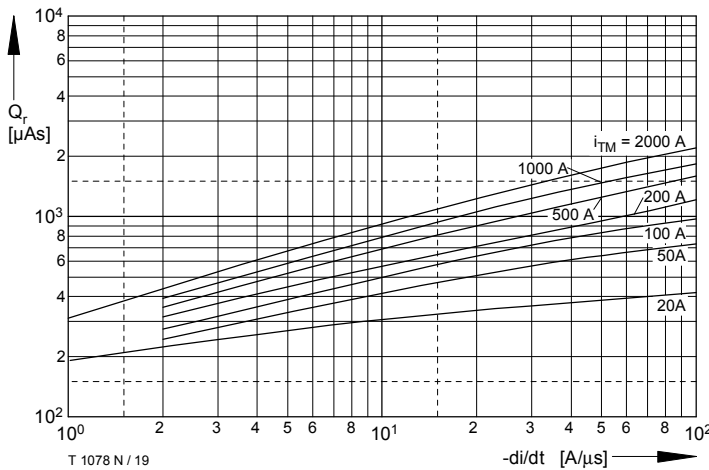


Bild / Fig. 19  
Sperrverzögerungsladung / Recovered charge  $Q_r = f(-di/dt)$   
 $t_{vj} = t_{vj \max}, V_R = 0,5 V_{RRM}, V_{RM} = 0,8 V_{RRM}$   
Parameter: Durchlaßstrom / On-state current  $i_{TM}$

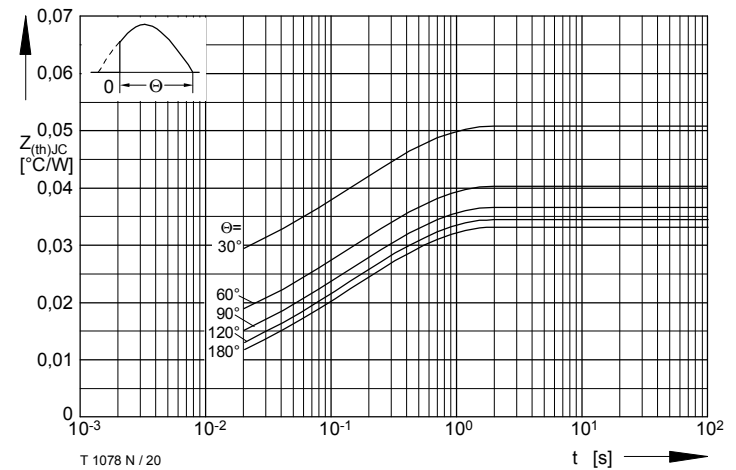


Bild / Fig. 20  
Transienter innerer Wärmewiderstand / Transient thermal impedance  
 $Z_{thJC} = f(t)$   
Beidseitige Kühlung / Two-sided cooling  
Parameter: Stromflußwinkel / current conduction angle  $\theta$

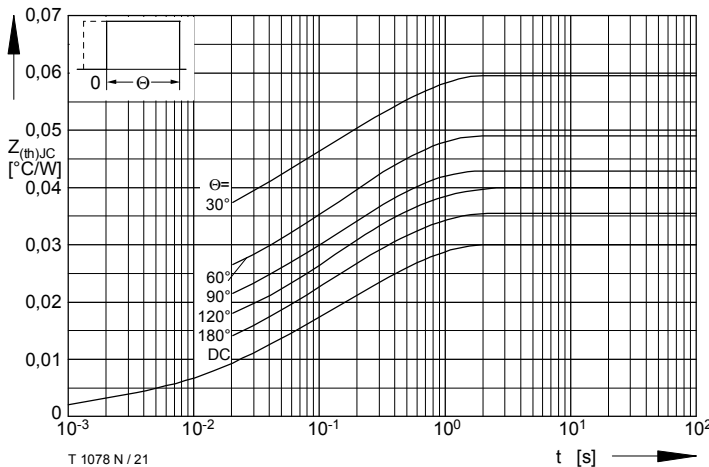


Bild / Fig. 21  
Transienter innerer Wärmewiderstand / Transient thermal impedance  
 $Z_{thJC} = f(t)$   
Beidseitige Kühlung / Two-sided cooling  
Parameter: Stromflußwinkel / current conduction angle  $\theta$

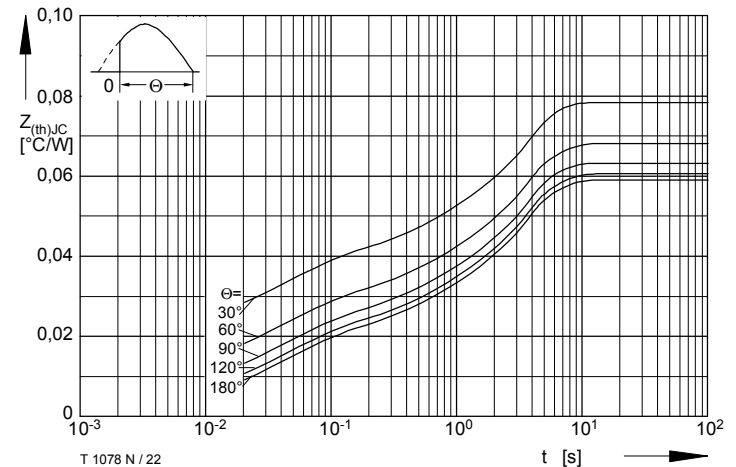


Bild / Fig. 22  
Transienter innerer Wärmewiderstand / Transient thermal impedance  
 $Z_{thJC} = f(t)$   
Anodenseitige Kühlung / Anode-sided cooling  
Parameter: Stromflußwinkel / current conduction angle  $\theta$

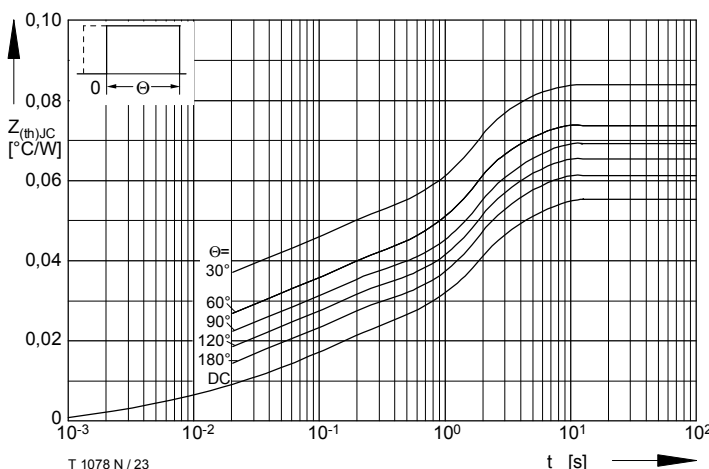


Bild / Fig. 23  
Transienter innerer Wärmewiderstand / Transient thermal impedance  
 $Z_{thJC} = f(t)$   
Anodenseitige Kühlung / Anode-sided cooling  
Parameter: Stromflußwinkel / current conduction angle  $\theta$

Analytische Elemente des transienten Wärmewiderstandes  $Z_{thJC}$  pro Zweig für DC  
Analytical elements of transient thermal impedance  $Z_{thJC}$  per arm for DC

Beidseitig / Two-sided

Pos. n	1	2	3	4	5
$R_{thn} [\text{°C/W}]$	0,0016	0,0026	0,0024	0,0123	0,0111
$\tau_n [\text{s}]$	0,00064	0,0034	0,0127	0,0722	0,523

Anodenseitig / Anode-sided

Pos. n	1	2	3	4	5
$R_{thn} [\text{°C/W}]$	0,0016	0,0026	0,0024	0,0123	0,0371
$\tau_n [\text{s}]$	0,00064	0,0034	0,0127	0,0722	2,3

Kathodenseitig / Cathode-sided

Pos. n	1	2	3	4	5
$R_{thn} [\text{°C/W}]$	0,0016	0,0026	0,0024	0,0123	0,0461
$\tau_n [\text{s}]$	0,00064	0,0034	0,0127	0,0722	1,87

Analytische Funktion / Analytical function:

$$Z_{thJC} = \sum_{n=1}^{n_{\max}} R_{thn} (1 - e^{-\frac{t}{\tau_n}})$$